

بررسی کارایی یک مبادله کن گرمایی پوسته-لوله با بافل میله‌ای با استفاده از دینامیک سیالات محاسباتی و نرم افزار HTRI

دانشجوی دکتری، گروه شیمی و مهندسی شیمی، واحد رشت، دانشگاه آزاد اسلامی، رشت، ایران.

استادیار، گروه شیمی و مهندسی شیمی، واحد رشت، دانشگاه آزاد اسلامی، رشت، ایران.

حسین حسن نیا

*اصغر علیزاده داخل

چکیده

یک مبادله کن گرمایی پوسته-لوله با بافل میله‌ای با استفاده از نرم افزار HTRI و روش دینامیک سیالات محاسباتی (CFD) شبیه سازی گردید. نتایج به دست آمده از هر دو مدل‌سازی با داده‌های تجربی در دسترس مقایسه شد. همچنین اثر فاصله بافل‌ها و سرعت جریان سیال سرد بر کارایی مبادله کن گرمایی مورد بررسی قرار گرفت. نتایج حاصل نشان داد که کاهش فاصله بافل‌ها سبب افزایش انتقال گرما در مبادله کن می‌شود. با این حال، کم کردن بیش از حد فاصله بافل‌ها می‌تواند موجب کاهش قابل توجه انتقال گرما گردد. در مقایسه دو روش به کار گرفته شده برای شبیه سازی مبادله کن گرمایی پوسته-لوله با بافل میله‌ای، می‌توان گفت استفاده از نرم افزار HTRI آسانتر و سریع‌تر از روش CFD است و پاسخ‌های قابل قبولی را به دست می‌دهد. از طرف دیگر دقت نتایج حاصل از CFD بیشتر است، همچنین جزئیات پروفایل‌های دما و سرعت سیال در داخل مبادله کن، قابل محاسبه و تجزیه و تحلیل است. نتایج این تحقیق می‌تواند گامی موثر در توسعه کاربرد این نوع مبادله کن و بازنگرشی آن باشد.

واژه‌های کلیدی: مبادله کن گرمایی، بافل میله‌ای، دینامیک سیالات محاسباتی، HTRI.

Investigation of the Performance of a Rod Baffle Shell-Tube Heat Exchanger using Computational Fluid Dynamics and HTRI Software

Hossein Hassannia

Asghar Alizadehdakhel

Department of Chemical Engineering, Rasht branch, Islamic Azad University, Rasht, Iran.

Department of Chemical Engineering, Rasht branch, Islamic Azad University, Rasht, Iran.

Abstract

A Rod Baffle shell-tube heat exchanger was simulated using HTRI software and Computational Fluid Dynamics (CFD). The results from both models were compared with available experimental data. In addition, the effects of distance of baffles and cold fluid's velocity on the heat exchanger's performance were analyzed. The obtained results showed that decreasing the distance between baffles can improve the heat transfer. However, diminution of this distance more than a threshold can lead to a significant reduction in the heat transfer. By comparing the two employed methods for simulation of shell-tube heat exchangers with bar baffles, one can say that the use of HTRI software is easier and faster than the CFD method and achieves acceptable responses, on the other hand, the CFD results are more accurate. Furthermore, the details of the temperature and velocity profiles of the fluid inside the heat exchanger can be calculated and analyzed. The results of this research can be an effective step in developing the application of this type of heat exchanger and redesigning of it.

Keywords: Heat Exchanger, Rod Baffle, Computational Fluid Dynamic, CFD, HTRI.

مبادله کن بافل میله‌ای نوعی از مبادله کن پوسته و لوله با کارایی بالاتر می‌باشد که در یک بهتر فیزیک جریان در پوسته این مبادله کن به‌خاطر ساختار پیچیده قرار گیری لوله‌ها، نیاز به یک مدل عددی دقیق از رژیم جریان در پوسته مبادله کن دارد. تتمامی صفات دایرگاهی که بافل‌ها را در خود جای داده‌اند توسط میله‌های بلند افقی نگه داشته می‌شوند. بافل‌های میله‌ای یک در میان به صورت افقی- عمودی در فاصله مناسبی نسبت به یکدیگر که به‌افتد فشار مجاز و ضربی انتقال گرما بستگی دارد، قرار داده می‌شوند. قطر میله‌های بافل و فاصله‌های آن‌ها از یکدیگر بدقت و تعداد لوله‌های مبادله کن گرمایی بستگی دارد. بدليل افت فشار کمتر و توزیع سرعت بهتر جریان پوسته کاربرد این نوع از مبادله کن‌های گرمایی مورد توجه قرار گرفته است. شکل ۱ و شکل ۲ آرایش و نحوه قرارگیری بافل‌های میله‌ای داخل پوسته مبادله کن‌های بافل میله‌ای را نشان می‌دهند.

دندگ و همکارانش [۱] با استفاده از یک مبادله کن بافل میله‌ای کوچک در آزمایشگاه پدیده‌های انتقال را برای گرمایش آب بررسی نمودند. ابتدا یک مدل سیالاتی محاسباتی تهیه و با نتایج تجربی

۱- مقدمه

مبادله کن‌های گرمایی به‌طور وسیعی در زمینه‌های مختلف از قبیل تولید نیرو، تبرید، سیستم‌های تهویه، خودروها و صنایع شیمیایی کاربرد دارند. بهمین علت، طراحی، بهینه سازی و ساخت مبادله کن‌های گرمایی همواره مورد توجه محققان بوده است. در این زمینه حل عددی معادلات جریان سیال یکی از مهمترین مسائل مطرح در مهندسی مکانیک و شیمی است که امروزه دینامیک سیالات محاسباتی در کنار آزمایشگاه‌ها و مراکز ساخت مبادله کن گرمایی، سرعت فعالیت‌های تحقیقاتی و صنعتی را به شدت افزایش داده است، زیرا علاوه بر پایین بودن هزینه روش‌های عددی در مقایسه با آزمایشات تجربی از دقت و سرعت بالایی در انجام محاسبات برخوردار می‌باشند و چنان توسعه یافته که قادر به حل جریان‌های مادون و موفق صوت، جریان‌های واکنشی، چند فازی و ... است. تعداد زیاد کارهای صورت گرفته در مدل‌سازی مبادله کن‌های گرمایی که به برخی از مهمترین های آن در ادامه اشاره می‌شود، مovid این مطلب خواهد بود.

*نویسنده مکاتبه کننده، آدرس پست الکترونیکی: alizadeh@iaurasht.ac.ir

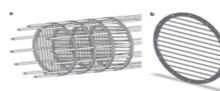
تاریخ دریافت: ۹۷/۰۸/۲۰

تاریخ پذیرش: ۹۷/۰۴/۲۴

مقایسه اعتبار سنجی کردند.



شکل ۱- نمایی از بافل‌های میله‌ای پوسته یک مبادله کن گرمایی



شکل ۲- طرحواره‌ای از میله‌های نگه دارنده (بافل) لوله در پوسته

سپس عدد ناسلت را برای جریان آب با چهار سرعت مختلف در پنچ فاصله بافل‌ها از یکدیگر به دست آوردند. از نتایج بدست آمده به تاثیر بیشتر قطر بافل‌ها بر ضربی انتقال گرما نسبت به افت فشار پوسته می‌توان اشاره کرد.

بانگ کین و همکاران [۲] مبادله کن‌های گرمایی با بافل‌های حلزونی^۱ را بهروش عددی مدلسازی نموده و مقایسه‌ای بین سه نوع مبادله کن گرمایی بافل بخشی^۲، بافل میله‌ای و بافل حلزونی انجام داده‌اند. گالزو و همکارانش [۳] نیز یک مبادله کن صفحه‌ای چهار کاتاله را با کد CFD مدلسازی نمودند که نتایج تحقیق‌شان با داده‌های تجربی سازگار است. ماکول و همکارانش [۴] با نرم افزار Ansys Fluent توزیع جریان در پوسته را برای مبادله کن‌های گرمایی با بافل حلزونی و بخشی مقایسه نموده و بایان نتیجه رسیدند که عملکرد ترموسیالاتی بافل‌های حلزونی بسیار بهتر از بافل‌های بخشی است.

شاهریل و همکارانش [۵] نیز عملکرد گرمایی و سیالاتی مبادله کن‌های پوسته و لوله هم مرکز (دو لوله هم مرکز) را برای سیال گرم در شدت جریان‌ها می‌ مختلف مدل نمودند و تاثیر قطر لوله داخلی روی ضربی کلی انتقال گرما را به دست آوردند. تاثیر شکل و اندازه بافل یکی از مهمترین پارامترهای مورد بررسی می‌باشد که به طور مثال دماندنی و همکارانش [۶] یک بهینه سازی چند منظوره با CFD، هوش مصنوعی و الگوریتم ژنتیک برای مبادله کن گرمایی با پره‌های موجی بیضوی روی لوله انجام داده‌اند. پاییچی و همکارانش [۷] اثر توزیع جریان هوا در ورودی مبادله کن‌های صفحه‌ای پره دار را با یک مدل سه بعدی نشان دادند. نتایج نشان می‌دهد که تاثیر خواص هندسی و الگوی جریان در طراحی مبادله کن بسیار حائز اهمیت است. آمکار و همکارانش [۸] با نرم افزار Solidwork Flow تاثیر بافل‌های پوسته بر ضربی انتقال گرما و افت فشار پوسته بررسی کردند که نتایج نشان داد با شدت جریان یکسان در پوسته، افت فشار و آهنگ انتقال گرما بافل یک بخشی بیشینه است.

وانگ و همکارانش [۹] نیز یک مدل عددی برای تحلیل هیدرولیکی مبادله کن دو پوسته بافل میله‌ای و مقایسه آن با تک پوسته بافل میله‌ای به دست آورده‌اند. نتایج نشان داد در شدت جریان برابر افت فشار و آهنگ انتقال گرما دو پوسته بیشتر است. از طرف دیگر تحلیل گرمایی سیالاتی مبادله کن‌های پوسته و لوله به کمک نرم

افزار HTRI در طراحی کاربرد بسیاری دارد و می‌توان جهت تایید محاسبات از آن استفاده کرد.

پائل و همکارانش [۱۰] برای تبادل گرما بین دو سیال مایع یک مبادله کن پوسته و لوله را طراحی نموده و جهت اطمینان از HTRI استفاده کردند. ساهاج پال و شاه [۱۱] محاسبات دستی یک چگالنده را با روابط و فرمولهای گرمایی موجود در مقالات انجام داده و سپس نتایج را با HTRI مقایسه نمودند تا از صحت نتایج مطمئن شوند. آنها دریافتند که دقت نتایج HTRI بیشتر از محاسبات دستی بر پایه روابط معرفی شده در مقالات می‌باشد.

ایوب [۱۲] بر اساس داده‌های تجربی در بازه چند ساله ضربی انتقال گرما را در یک مبادله کن گرمایی بافل یک بخشی محاسبه و نتایج را با HTRI مقایسه نموده است. او نشان داد که این نرم افزار به عنوان ابزاری قدرتمند همراه با روش‌های محاسباتی موجود امکان یک طراحی بی‌نقص گرمایی سیالاتی را فراهم می‌سازد. کاربرد همزمان نرم افزارهای دینامیک سیالاتی Fluent و HTRI می‌تواند به افزایش دقت محاسبات و تحلیل‌های مطمئن‌تری ختم شود. لیتوانی و همکارانش [۱۳] به خوبی از این ابزار برای مدلسازی جریان پوسته با مدل اغتشاش K-4 استفاده کردند. آن‌ها ابتدا با HTRI یک مبادله کن پوسته لوله بافل بخشی را طراحی کرده و در شرایط مزی معادلات انتزاعی در Ansys Fluent از اطلاعات دمایی بهره گرفته‌اند. شرینکار و همکارانش [۱۴] یک مبادله کن گرمایی پوسته و لوله با بافل تک بخشی را در نرم افزارهای Aspen، Solid works و HTRI و شریبه سازی کردند. نتایج هر سه روش از همگرایی و تطابق خوبی با یکدیگر برخوردار بود. از آنجایی که مبادله کن‌های پوسته و لوله بافل میله‌ای پتنت شرکت فیلیپ می‌باشد جزئیات طراحی آن منتشر نشده است.

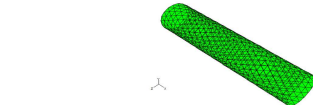
کی یو و همکارانش [۱۵] برای توسعه روابط تجربی مبادله کن گرمایی بافل میله‌ای، مجموعه‌ای از آزمایشات تجربی را با نمک مذاب (سیال پوسته) و یک نوع روغن (سیال لوله) انجام دادند. بر اساس نتایج بدست آمده روابط تجربی را اصلاح کرده و با دقت ۵٪ در طراحی مبادله کن‌های گرمایی با سیال نمک مذاب استفاده نمودند. تحقیق دیگری توسط چولین یو و همکارانش [۱۶] روی مبادله کن‌های گرمایی با بافل میله‌ای و بافل ضد ارتعاش^۳ صورت گرفته است. یو با مدل‌های عددی CFD عملکرد و تاثیر این دو نوع بافل بر انتقال گرما و شرایط هیدرولیکی - مکانیکی در مبادله کن گرمایی پوسته و لوله را یکدیگر مقایسه نموده است. نتایج مدلسازی نشان می‌دهد هرچند بافل‌های ضد ارتعاش شش وجهی برای مبادله کن‌های گرمایی با لوله‌های بزرگ و حجمی مناسب است و انتقال گرما بهتری انجام می‌پذیرد اما مبادله کن‌های پوسته و لوله با بافل‌های میله‌ای عملکرد بهتری دارند.

هر چند که فعالیت‌های زیادی در زمینه مدلسازی مبادله کن‌های گرمایی صورت گرفته است اما تحقیقات محدودی درباره استفاده هم زمان مدل‌های دینامیک سیالات محاسباتی و نرم افزارهای طراحی مبادله کن گرمایی برای بررسی اثر پارامترهای ابعادی، سیالاتی و

^۳ Hexagon Clamping Anti-Vibration Baffle

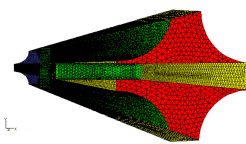
^۱ Helical Segmental Baffle

^۲ Segmental Baffle



شکل ۴- نمای شبکه بندی بافل میله‌ای افقی در پوسته مبادله کن گرمایی دو بافل میله‌ای

در شکل ۵ سطوح خارجی لوله‌ها، سطوح مقطع ورودی و خروجی کanal آب و سطوح متقاضن هندسی با نمای نزدیک از سطح خروجی نشان داده شده است. سطح شبکه بندی قرمز خروجی جریان و ربع استوانه‌ها سطوح خارجی لوله‌ها را نشان می‌دهند. جریان در طول محور z حرکت می‌کند و برای مشخص بودن تمامی سطوح شفافیت^۱ سطوح 100% قرار داده شده است.



شکل ۵- شبکه بندی کاتال آب در پوسته مبادله کن گرمایی با دو بافل میله‌ای

۲-۱-۲- شکل هندسی و شبکه بندی پوسته مبادله کن با سه بافل میله‌ای
در این قسمت یک بافل عمودی بعد از بافل افقی اضافه می‌گردد. طول پوسته مبادله کن مانند حالت قبل 300 mm است بنابراین فاصله اولین بافل عمودی از ورودی سیال 100 mm و فاصله بافل‌ها از یکدیگر نیز 100 mm می‌گردد که در شکل ۶ می‌توان مشاهده کرد.



شکل ۶- نمای ایزومتریک جریان کاتال آب در پوسته مبادله کن گرمایی، دیواره لوله‌ها و ۳ بافل میله‌ای

فضای محاسباتی برای این مدل به 538826 mm^3 حجم کنترلی غیر ساختاری با شبکه بندی Tetrahedral و Triangular سطح 1105941 مشابه پوسته مبادله کن دو بافل میله‌ای تقسیم شده است. از نرم افزار Fluent نسخه $6/3$ جهت حل و پس پردازش استفاده شده است. با توجه به پایین بودن سرعت و تراکم ناپذیری جریان، روش حل بر پایه فشار (Segregated) با جریان آشفته، پیوسته و الگوریتم SIMPLE است. جریان آشفته $k-e$ با مدل استاندارد و ثوابت $1/44$ ، $1/92$ و $1/09$ فرض شده است. برای کنترل حل عددی مبادله کن با ۲ بافل میله‌ای، فشار به-

¹ Transparency

گرمای در مبادله کن‌های گرمای بافل میله‌ای صورت پذیرفته است. در این تحقیق از نرم افزار Fluent برای مدلسازی دینامیک سیالات محاسباتی و از HTRI برای شبیه سازی جریان آب در پوسته مبادله کن گرمایی استفاده شده است. جریان آب سرد با عبور از پوسته مبادله کن که بافل‌های میله‌ای دارد توسط بخار آب عبوری از لوله‌ای مبادله کن گرم می‌شود. نتایج بدست آمده با داده‌های تجربی موجود مقایسه شده و اثر سرعت جریان، اثر فواصل مختلف بافل‌ها از یکدیگر و همچنین دقیق پیش‌بینی برخی پارامترهای مهم در پدیده‌های انتقال با نرم افزار HTRI مورد بررسی قرار گرفته است تا دامنه استفاده صنعتی از HTRI گسترش یابد.

۲- مبانی و روش‌ها

۲-۱- مدلسازی دینامیک سیالات محاسباتی

در این قسمت پوسته مبادله کن گرمایی ابتدا با دو بافل میله‌ای به عنوان مدل پایه و سپس با سه بافل میله‌ای برای بررسی اثر فواصل بافل‌ها بر میزان ضریب انتقال گرما و دمای خروجی جریان آب در همان طول از مبادله کن گرمایی مدلسازی می‌گردد.

۲-۱-۱- شبکه بندی و شبکه بندی پوسته مبادله کن با دو بافل میله‌ای

جریان آب سرد از پوسته یک مبادله کن گرمایی با دو بافل میله‌ای عبور می‌کند. در لوله‌های مبادله کن گرمایی بخار آب جریان دارد تا آب سرد عبوری از پوسته را حدود 10°C گرم نماید. جهت ترسیم شکل هندسی و شبکه بندی پوسته مبادله کن از نرم افزار Gambit نسخه $2/4$ استفاده شده است و به دلیل تقارن هندسی در آرایش لوله‌ها یک کاتال آب عبوری از بین چهار لوله به عنوان فضای محاسبات در نظر گرفته شده است.

در بخش اول مدلسازی CFD، کاتال آب عبوری از پوسته با دو بافل میله‌ای آن‌طور که در شکل ۳ مشاهده می‌گردد در نظر گرفته شده است. طول مبادله کن 300 mm ، فاصله ورودی از بافل عمودی 75 mm و فاصله بافل عمودی از بافل بعدی که افقی می‌باشد 150 mm است. قطر هر چهار لوله 25 mm است که به فاصله 7 mm از هم قرار دارند. فضای محاسباتی برای مدل ۲ بافل میله‌ای 5739294 mm^3 سلول Tetrahedral و 1175634 سطح Triangular تقسیم گردید. جریان آب در راستای محور z پس از ورود به کاتال ابتدا به بافل عمودی و سپس به بافل افقی برخورد می‌کند.



شکل ۳- نمای ایزومتریک جریان کاتال آب در پوسته مبادله کن گرمایی، دیواره لوله‌ها و ۲ بافل میله‌ای

شکل ۴- شبکه بندی سطح بافل افقی میله‌ای را نشان می‌دهد.
شبکه بندی سطح بافل عمودی مشابه سطح بافل افقی می‌باشد.

صورت استاندارد و طرح اختلاف بالادست مرتبه دوم برای انرژی، اندازه حرکت و آشفتگی انتخاب گردید. پس از 1400 سعی و خطای نتایج محاسبات با دقت 10^{-6} همگرا شد، و برای کanal با 3 بافل طرح اختلاف بالادست مرتبه اول مناسب و نتایج با همگرایی 10^{-6} به دست آمد.

همچنین برای بررسی استقلال حل از شبکه، مدل انتخاب شده برای 5 شبکه بندی مختلف حل شد و دمای جریان آب پیش‌بینی شده توسط مدل‌های با شبکه بندی‌های مختلف مورد مقایسه و بررسی قرار گرفت.

معادلات حاکم شامل پیوستگی، اندازه حرکت، انرژی و مدل جریان آشفته $k-\epsilon$ است و از نیروی بدنے صرف نظر شده است.

معادله پیوستگی برای سیال تراکم ناپذیر:

$$\frac{\partial u}{\partial x} + \frac{\partial v}{\partial y} + \frac{\partial w}{\partial z} = 0 \quad (1)$$

معادله اندازه حرکت در مختصات دکارتی:

$$\rho \left(u \frac{\partial u}{\partial x} + v \frac{\partial u}{\partial y} + w \frac{\partial u}{\partial z} \right) = - \frac{\partial P}{\partial x} + \mu \left(\frac{\partial^2 u}{\partial x^2} + \frac{\partial^2 u}{\partial y^2} + \frac{\partial^2 u}{\partial z^2} \right) \quad (2)$$

$$\rho \left(u \frac{\partial v}{\partial x} + v \frac{\partial v}{\partial y} + w \frac{\partial v}{\partial z} \right) = - \frac{\partial P}{\partial y} + \mu \left(\frac{\partial^2 v}{\partial x^2} + \frac{\partial^2 v}{\partial y^2} + \frac{\partial^2 v}{\partial z^2} \right) \quad (3)$$

$$\rho \left(u \frac{\partial w}{\partial x} + v \frac{\partial w}{\partial y} + w \frac{\partial w}{\partial z} \right) = - \frac{\partial P}{\partial z} + \mu \left(\frac{\partial^2 w}{\partial x^2} + \frac{\partial^2 w}{\partial y^2} + \frac{\partial^2 w}{\partial z^2} \right) \quad (4)$$

معادله انرژی:

$$\rho c_p \left(u \frac{\partial T}{\partial x} + v \frac{\partial T}{\partial y} + w \frac{\partial T}{\partial z} \right) = \lambda \left(\frac{\partial^2 T}{\partial x^2} + \frac{\partial^2 T}{\partial y^2} + \frac{\partial^2 T}{\partial z^2} \right) \quad (5)$$

شبیه سازی با فرض جریان درهم و ناچیز بودن اثرات لرجت مولکولی انجام شده است. مدل اغتشاش $k-\epsilon$ برای مدل سازی جریان درهم با مقادیر k و ϵ که از معادلات زیر به دست می‌آیند به کار رفته است.

$$\rho \left(\frac{\partial k}{\partial t} + \frac{\partial k u_i}{\partial x_i} + w \frac{\partial T}{\partial z} \right) = \frac{\partial \left[\left(\mu + \frac{\mu_t}{\sigma_k} \right) \frac{\partial k}{\partial x_i} \right]}{\partial x_i} + G_k - \rho \epsilon \quad (6)$$

$$\rho \left(\frac{\partial \epsilon}{\partial t} + \frac{\partial (\epsilon u_i)}{\partial x_i} + w \frac{\partial T}{\partial z} \right) = \frac{\partial \left[\left(\mu + \frac{\mu_t}{\sigma_E} \right) \frac{\partial \epsilon}{\partial x_i} \right]}{\partial x_i} + C_{1\epsilon} \epsilon G_k - \frac{C_{2\epsilon} \rho \epsilon^2}{k} \quad (7)$$

که در آن، μ_t برابر $0/09$ ، $C_{1\epsilon}$ برابر $1/44$ ، $C_{2\epsilon}$ برابر $1/92$ ، σ_k برابر $1/10$ و σ_E برابر $1/3$ می‌باشد. از تغییرات دمایی و خواص فیزیکی در

جریان کاملاً توسعه یافته مدل صرف نظر شده است.

شرایط مرزی برای انجام محاسبات CFD مشابه فرضیات دنگ و همکارانش [۱] به شرح زیر در نظر گرفته شده است: شرط مرزی ورودی سرعت جریان می‌باشد که برابر با 2223 m/s در دمای 300 K است. دیوارهای دارای شرط عدم لغزش، همچنین دیوارهای لوله با دمای ثابت $K=400$ و دیوارهای بافل میله‌ای در حالت آدیاباتیک فرض شده‌اند. از نیروی بدنه در شرایط مرزی برای مدل کانال پریودیک صرف نظر شده است. از آنجایی که جریان کاملاً توسعه یافته پریودیک است شرایط مرزی خروجی به صورت زیر نوشته شده و افت فشار به عنوان اختلاف فشار بر طول واحد در سیستم SI تعریف گردیده است:

$$u(x,y,z) = u(x,y,z+s) \quad (8)$$

$$v(x,y,z) = v(x,y,z+s) \quad (9)$$

$$w(x,y,z) = w(x,y,z+s) \quad (10)$$

$$p(x,y,z) - p(x,y,z+s) = \dots \quad (11)$$

$$p(x,y,z+s) - p(x,y,z+2s) \quad (12)$$

$\Delta p = \frac{[p(x,y,z) - p(x,y,z+s)]}{s}$

که در آن، s مقدار طول واحد در راستای محور z بر حسب متر می‌باشد. هنگامی که جریان مغلوش وارد ناحیه محاسباتی می‌شود لازم است که مقادیر پارامترهای اغتشاش در مزهای ورودی و خروجی تعیین شوند. در مقاله حاضر از روش به کارگیری مقادیر یکنواخت و ثابت استفاده شده و مقدار آهنگ انرژی جنبشی آشفتگی و آهنگ اضمحلال آشفتگی یک قرار داده شده است.

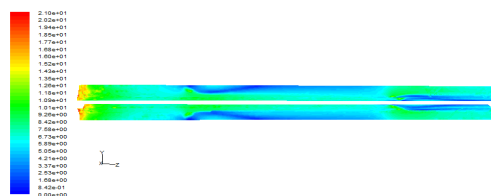
۲-۲- شبیه سازی مبادله کن گرمایی با HTRI

برای شبیه سازی مبادله کن گرمایی با HTRI از نسخه 6 این نرم افزار و مدل Xist که مبادله کن پوسته و لوله می‌باشد استفاده شده است. این نرم افزار برای طراحی و شبیه سازی گرمایی - مکانیکی تجهیزات گرمایی شامل فن‌های هوایی، مبادله کن‌های صفحه‌ای، مبادله کن‌های پوسته و لوله، مبادله کن‌های دولوله و کوره‌های گرمایی بکار می‌رود. در محیط نرم‌افزار، ابتدا نوع تجهیز گرمایی انتخاب می‌شود. سپس مقادیر شدت جریان‌های سرد و گرم، دما، فشار و برخی متغیرهای هندسی تجهیز گرمای مانند نوع بافل، طول و یا قطر داخلی لوله‌ها در طراحی مبادله کن گرمایی پوسته و لوله به عنوان داده‌های ورودی به نرم‌افزار داده می‌شود تا سطح انتقال گرمای، ضریب کلی انتقال گرمای، خواص گرمای و اندازه اجزاء تجهیز گرمای متوسط محاسبات نرم-افزار به دست آید.

۲-۱- شکل هندسی و شرایط جریان در مبادله کن گرمایی با دو بافل میله‌ای

مشابه قسمت قبل ابتدا یک مبادله کن گرمایی پوسته و لوله که در طول 300 mm از ورودی آن دو بافل میله‌ای به فاصله 150 mm از یکدیگر قرار می‌گیرند باز طراحی شده است. طول و قطر خارجی هر لوله به ترتیب 2000 mm و 25 mm و قطر پوسته مبادله کن 270 mm در نظر گرفته شده است. شدت جریان به گونه‌ای تنظیم شد که سرعت جریان آب در پوسته 2223 m/s و گردید. نرم افزار HTRI طول موثر لوله را به قسمت‌های تقریباً مساوی 50 mm تقسیم کرده و برای سطح

در این تحقیق مبادله کن گرمایی با دو بافل میله‌ای به عنوان مدل پایه انتخاب شده است و اعتبارسنجی نتایج با داده‌های تجربی دنگ و همکاران [۱] انجام پذیرفت. به این منظور از نتایج CFD و HTRI مبادله



شکل ۸- تغییرات y^+ دیواره خارجی لوله در طول کanal آب

کن گرمایی با دو بافل میله‌ای، دمای خروجی سیال سرد پوسته (آب) بهاری چهار سرعت مختلف انتخاب شده و در جدول ۱ ارائه شده است. نزدیکی نتایج CFD بدداههای تجربی نشان می‌دهد مدل سیالات محاسباتی انتخاب شده از دقت قابل قبولی برخوردار است در حالی که نتایج شبیه سازی HTRI نسبت به نتایج CFD از دقت کمتری برخوردار است. اگر بخشی از این اختلاف نتایج شبیه سازی HTRI با داده‌های تجربی به تفاوت‌های هندسی و هیدرولیکی شبیه سازی HTRI با مدل تجربی نسبت داده شود شبیه سازی HTRI با تقریب مهندسی جهت بسیاری از محاسبات طراحی مبادله کن‌های گرمایی با بافل میله‌ای قابل استفاده است.

همچنین جدول ۱ نشان می‌دهد با افزایش سرعت آب در پوسته دمای خروجی کاهش می‌یابد اگرچه عدد رینولدز و ضریب انتقال گرما جابجایی افزایش یافته‌اند. علت این پدیده افزایش شدت جریان آب و در نتیجه کاهش زمان تماس سیال با پوسته است.

جدول ۱- نتایج CFD، HTRI و داده‌های تجربی برای مبادله کن گرمایی با دو بافل میله‌ای

CFD	سرعت سیال سرد پوسته (K)		سرعت سیال سرد پوسته (m/s)
	داده تجربی [۱]	HTRI	
۳۰۵/۷	۳۰۸/۹۴	۳۱۰/۰۰	۰.۲۲۲۳
۳۰۴/۷	۳۰۷/۵۹	۳۰۹/۱۰	۰.۳۷۰۴
۳۰۴/۲	۳۰۶/۷۰	۳۰۷/۵۰	۰.۵۶۳۷
۳۰۲/۷	۳۰۶/۸۹	۳۰۸/۰۰	۰.۷۴۰۹

در جدول ۲ درصد خطای نتایج CFD و HTRI نسبت به نتایج تجربی برای جریان آب در چهار سرعت مختلف آورده شده است. خطای نتایج مدل محاسباتی مشتب و کمتر از دمای بازطراحی مبادله کن گرمایی با HTRI می‌باشد و تقریباً ثابت است.

قطع عرضی مبادله کن در آن طول (z) ۳۰۰ mm ابتدای پوسته، دمای جریان آب در پوسته و گرما تبادل شده را محاسبه و نشان می‌دهد.

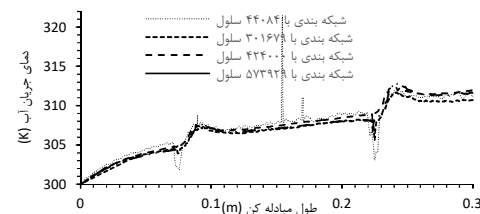
۲-۲- شکل هندسی و شرایط جریان در مبادله کن گرمایی با سه بافل میله‌ای

جهت بررسی اثر فواصل بافل‌ها بر انتقال گرما و افت فشار پوسته تعدادی بافل میله‌ای اضافه شده به‌نحوی که فاصله بافل‌ها از یکدیگر ۱۰۰ mm و فاصله اولین بافل از ورودی جریان آب نیز ۱۰۰ mm به دست آید. شبیه سازی با فرضیات مشابه مبادله کن دو بافل میله‌ای انجام پذیرفته است.

۳- نتایج

۳-۱- اعتبار سنجی و استقلال حل از شبکه مدل پایه

جهت بررسی استقلال حل از شبکه و یافتن بزرگترین شبکه بندی با کمترین خطای مدل کanal آب در ۵ اندازه مختلف شبکه بندی از سلول Tetrahedral با سرعت جریان شماره ۴ آب (محثصات آن در جدول ۳ آمده است) و دمای خط جریان شماره ۴ آب (محثصات آن در جدول ۷ نشان داده شده برای ۵ شبکه بندی با تعداد مختلف سلول‌ها در شکل ۷ نشان داده است. در شکل ۷ مشاهده می‌گردد با افزایش سلول‌های شبکه خطای محاسبه دمای کanal آب کاهش یافته به‌نحوی که تفاوت مقدار خطای محاسبه دما برای شبکه بندی شماره‌های ۴ و ۵ ناچیز می‌شود. بنابراین حل مدل کanal مستقل از شبکه است و برای کاهش زمان و حجم محاسبات شبکه بندی با سلول‌های Tetrahedral و تعداد ۵۷۳۹۲۹ انتخاب می‌شود.



شکل ۷- تغییرات دمای جریان آب در طول کanal با شبکه بندی هستند مختلف، تمامی سلول‌ها

از آنجایی که انتقال گرما از سطح خارجی لوله‌ها صورت می‌پذیرد شبکه بندی نزدیک دیواره خارجی لوله‌ها بسیار اهمیت دارد. به این منظور کانتور y^+ برای سطوح خارجی لوله‌ها در شکل ۸ نشان داده شده است. اگرچه y^+ ابتدای کanal و کنارگذر بافل‌ها در زیرلايه بافر قرار گرفته ولی اغلب مقادیر y^+ به زیرلايه ویسکوز و یا حد مرزی زیرلايه‌های ویسکوز و بافر با مقدار متوسط ۵ تعلق دارند. با توجه به نظر کمیلووسکی [۱۷] در مورد مقدار مناسب y^+ برای توابع استاندارد دیواره جریان آشفته k-e و استراتئی پیشنهادی شرکت Ansys [۱۸] در تعیین روش مناسب اصلاح نزدیک دیواره، y^+ در محدوده قابل قبول است.

جدول ۲- درصد خطای محاسبات دمای خروجی از CFD و HTRI

نسبت به نتایج تجربی در چهار سرعت مختلف از جریان آب

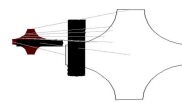
سرعت سیال سرد	درصد خطای %	CFD	HTRI
m/s			
.۲۲۲۳	.۰۳۴	۱۰۵	
.۰۳۷۰۴	.۰۴۹	-۰۹۶	
.۰۵۶۳۷	.۰۲۶	-۰۸۳	
.۰۷۴۰۹	.۰۳۶	-۱۳۷	

بنابراین می‌توان گفت مدلسازی CFD و شبیه‌سازی با HTRI هر دو قابل قبول هستند با این حال دقت CFD بیشتر است.

۳-۲- بررسی اثر بافل‌ها و دیواره بر انتقال گرمایی در مبادله
کن گرمایی با دو بافل میله‌ای

در مدل CFD کanal آب، جهت بررسی اثر بافل و دیواره بر انتقال گرمایی، چندین خط فرضی به موازات محور طولی کanal (z) در پوسته مبادله کن گرمایی در نظر گرفته شد. تصویر این خطوط فرضی در شکل ۹ و مختصاتشان در جدول ۳ آمده است. سعی شده است خطوطی از جریان آب انتخاب گردد تا اثر بافل و دیواره لوله‌ها به‌نهایی و نیز با یکدیگر بر دمای جریان آب را مشخص نماید. در شکل ۹ جریان ۹ باصفحه سفید وارد شده و پس از عبور از بافل عمودی به بافل آب از صفحه سفید وارد شده و از عبور از بافل عمودی به بافل آب به تدریج از بافل‌ها فاصله گرفته و از سه جهت مختلف به دیواره نزدیک شده‌اند. بنابراین در برخورد یا عبور از کناره‌های بافل‌ها آهنگ تغییرات نسبتاً متفاوتی را نشان داده‌اند.

شکل ۱۰ اثر بافل بر افزایش دمای جریان آب را نشان می‌دهد. همانطور که مشاهده می‌شود با نزدیک شدن به بافل عمودی که نزدیک به‌ورودی قرار دارد دما افزایش می‌یابد. ترتیب بزرگی آهنگ افزایش، از خط جریان ۳ به ۴ سپس ۲ و ۵متر از همه خط جریان ۱ است. دلیل این امر ایجاد اختشاش بیشتر در اثر برخورد با بافل می‌باشد. بطور مثال دما در محل تقاطع جریان شماره ۳ با بافل میله‌ای عمودی از K ۳۰۸ به K ۳۱۲ افزایش می‌یابد.


شکل ۹- خطوط انتخابی جریان آب در پوسته

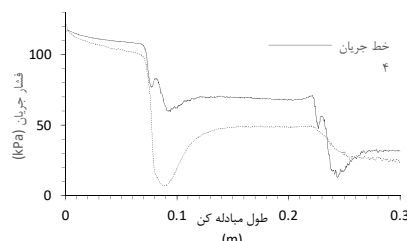
این افزایش برای بافل افقی که به خروجی نزدیکتر است به ۹° می‌رسد در حالی که کمترین آهنگ افزایش دما برای خط جریان شماره ۱ است که با هر دو بافل تلاقی می‌کند. علت این امر می‌تواند ایجاد ناحیه ساکن در ناحیه متناظر پشت محل تقاطع بافل با جریان باشد. جریان شماره ۴ به دلیل اینکه صرفاً دورتر از اختشاشات گردابی مجاور بافل‌ها است رشد یکنواخت متوجه شود.

افزایش دما با حرکت از طرف بافل‌ها به سمت دیواره خارجی لوله‌ها بیشتر شده اما غیر یکنواختی توزیع دما و تغییرات (پراکندگی) دمای

در جریان نیز بیشتر مشاهده می‌شود. در شکل ۱۱، تغییرات (پراکندگی) دمایی خط جریان ۵ در مقایسه با تغییرات دمای خلطot جریان آب ۶ و ۷ در راستای طول کanal بیشتر است زیرا نسبت به خطوط جریان آب ۶ و ۷ به دیواره خارجی لوله‌ها بسیار نزدیکتر و تحت تاثیر هردو بافل است. نکته جالب توجه تشابه آهنگ افزایش دما روی خط جریان ۵ با خطوط جریان ۶ و ۷ در نواحی تقاطع با بافل‌ها است. این امر می‌تواند به‌علت اثر مثبت بافل‌ها بر افزایش اختشاش و کاهش نقاط غیر هدمای باشد. در شکل ۱۲ نواحی کنار گذر بافل‌ها با افزایش شدید دمایی مواجه می‌شوند که مقدار آن برای خطوط جریان ۸ و ۹ به‌دلیل عبور از نزدیکی بافل‌ها بیشتر از خط جریان ۵ می‌باشد. شبیه افزایش دما در خطوط جریان ۸ و ۹ کمتر از ۵ است زیرا نقاط مستقر روی خط جریان ۵ به‌دیواره گرم لوله‌ها نسبت به خطوط جریان ۸ و ۹ نزدیک تر هستند. بنابراین تبادل گرمایی بیشتری انجام می‌دهند. از مقایسه خطوط جریان ۵، ۸ و ۹ در شکل ۱۲ مشاهده می‌شود با نزدیک شدن به سطوح انتقال گرمایی لوله‌ها و لایه مرزی گرمایی مجاور آن در موقعیت‌های دور از بافل، دما به طور میانگین C ۴۰ افزایش یافته و بین ۳۵۰ - ۳۷۰ K قرار می‌گیرد، اما به دلیل آشفتگی کمتر جریان نوسانات دمایی کاهش می‌یابد. هرچند تعداد بافل‌ها در افزایش آهنگ انتقال گرمایی اثر مثبت قابل توجهی دارند اما سبب افزایش افت فشار نیز می‌گردند. خط جریان ۴ در شکل ۱۳ که از نزدیکی وسط هر دو بافل بدون تلاقي با آن‌ها عبور می‌کند نشان می‌دهد که در برخورد جریان با هر بافل فشار جریان به نصف مقدار قبلی کاهش می‌یابد.

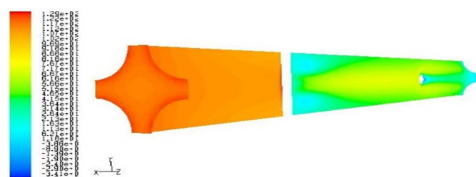
جدول ۳- مختصات خطوط جریان آب در پوسته مبادله کن

مشخصات	Y (mm)	X (mm)	شماره خط جریان
از وسط بافل‌ها عبور می‌کند	۱۶	۱۶	۱
با انتهای بافل افقی تلاقي دارد	۱۶	۳۲	۲
با انتهای بافل عمودی تلاقي دارد	۳۲	۱۶	۳
نزدیک به وسط بافل‌ها	۲۰,۵	.۵ ۲۰	۴
نزدیک به دیواره در فاصله مساوی از بافل‌ها	۲۳,۵	.۵ ۲۳	۵
نزدیک به دیواره در فاصله دور از بافل عمودی	۲۰,۵	.۵ ۲۴	۶
نزدیک به دیواره در فاصله دور از بافل افقی	۲۴,۵	.۵ ۲۰	۷
بسیار نزدیک به انتهای بافل افقی و دیواره	۲۰,۵	۲۶	۸
بسیار نزدیک به انتهای بافل عمودی و دیواره	۲۶	.۵ ۲۰	۹



شکل ۱۳- فشار جریان جریان آب در طول مبادله کن گرمایی
($Re = 14/9$ و $U_z = +/2223 \text{ m/s}$)

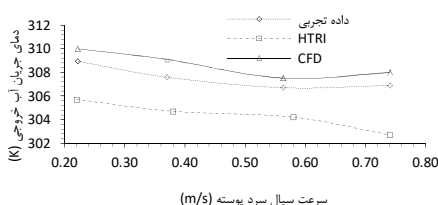
ناحیه کم فشار در پشت میله‌های بافل که دور از دیواره لوله‌ها است به تدریج از بین رفته در حالی که روی دیواره گرم لوله‌ها تا نصف فاصله بین دو بافل گسترش پیدا می‌کند.



شکل ۱۴- فشار جریان (بر حسب پاسکال) در صفحه $x-z$
در طول پوسته مبادله کن گرمایی، (m/s) $x_z = +/2223$ و $y_z = 0/2223$ و $Re = 14/9$

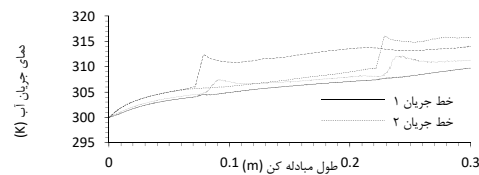
۳-۳- اثر سرعت جریان آب ورودی بر دمای خروجی، انتقال گرما و افت فشار جریان آب کanal

همان‌طور که در شکل ۱۵ دیده می‌شود با افزایش سرعت جریان آب از $0/2223 \text{ m/s}$ به $+/740.9 \text{ m/s}$ دمای خروجی آب محاسبه شده از هر دو روش HTRI و CFD کاهش می‌یابد با این تفاوت که در مدل HTRI دما از 310 K به 308 K میرود در حالی که در مدل CFD دما از 310 K به 308.8 K میرود. علاوه بر این که کمتر از مقادیر تجربی هستند آهنگ کاهش متغیری نیز دارند. با افزایش سرعت از $+/2223 \text{ m/s}$ به $+/740.9 \text{ m/s}$ عدد رینولدز نزدیک به سطح خارجی لوله‌ها بتدریج از ۱۸ به ۶۵ و در نواحی وسط کanal از ۱ به ۴ افزایش می‌یابد.



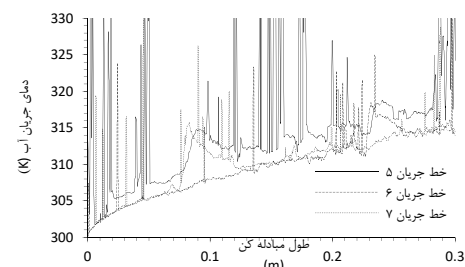
شکل ۱۵- اثر سرعت جریان آب ورودی بر دمای جریان آب خروجی

شکل ۱۶ تأثیر سرعت جریان آب (Uz) بر مقدار ناسلت در مدل CFD را نشان می‌دهد. برای این منظور مقدار ناسلت (Nu) خط جریان آب شماره ۵ که در مجاورت سطح خارجی لوله‌ها قرار گرفته است انتخاب



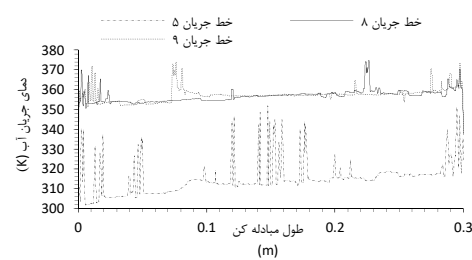
شکل ۱۰- اثر بافل‌ها بر تغییرات دمای سیال پوسته ($Re = 2223 \text{ m/s}$) و $U_z = 5/4$ و $U_x = 0/2223 \text{ m/s}$

همچنین با عبور از بافل عمودی توزیع فشار پراکنده تر شده و با نزدیک شدن به بافل بعدی نقاط تغییرات دمای سیال پوسته بیشتر می‌گردد.



شکل ۱۱- اثر دیواره لوله‌ها بر نوسان دمایی ($Re = 10/1$ و $U_z = +/2223 \text{ m/s}$)

گرچه این الگو تقریباً برای تمامی خطوط جریان مشاهده می‌شود اما با دور شدن از بافل‌ها کاهش فشار جریان آهنگ کمتری را تجربه می‌نماید.

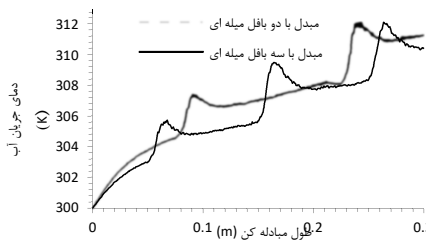


شکل ۱۲- تاثیر دیواره و بافل‌ها بر دمای سیال پوسته
($Re = 14/9$ و $U_z = +/2223 \text{ m/s}$)

در شکل ۱۳ این تغییر در فشار جریان روی خط جریان ۹ به مقدار حدود 120 pa در مجاورت بافل عمودی و 20 pa در مجاورت بافل افقی قابل مشاهده است.

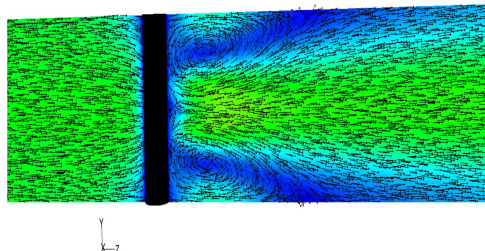
شکل ۱۴ کانتور فشار جریان آب را در طول پوسته مبادله کن نشان می‌دهد. فشار جریان تا اولین بافل میله‌ای همگن است اما با عبور از کناره‌های بافل میله‌ای آشفتگی ایجاد شده و در ناحیه پشت بافل ناحیه ساکنی ایجاد می‌گردد که در پشت بافل افقی وسیعتر شده است. به تدریج با دور شدن از بافل میله‌ای فشار افزایش پیدا می‌کند هر چند که توزیع آن ناهمگن تر می‌شود.

بافلی به بافل دیگر محسوس تر می‌گردد. علت این امر می‌تواند وجود نواحی ساکن در پشت بافل‌ها باشد زیرا در شرایطی که متوسط عدد رینولوز در طول کanal مبادله کن دو بافل میله‌ای ۲۱ و در مبادله کن سه بافل میله‌ای ۳۱ است، از اثر مشت آشفتگی اطراف بافل (بالاتر بودن عدد رینولوز) بر افزایش ضریب انتقال گرما کاسته شده است. بنابراین دمای بسیاری از نقاط جریان آب در یک طول ثابت از مبادله کن گرمایی با دو بافل میله‌ای بیشتر از نقاط مشابه در مبادله کن با سه بافل میله‌ای است که در شکل ۱۸ بهوضوح این نکته مشاهده می‌گردد. این بدان معنی است که تبادل گرما در تمامی طول پوسته مبادله کن با دو بافل میله‌ای بیشتر از مبادله کن گرمایی با سه بافل میله‌ای است.



شکل ۱۸- اثر فواصل بافل‌ها بر دمای جریان آب خروجی در مبادله کن‌های گرمایی با طول یکسان. مبادله کن با دو بافل میله‌ای: $Uz = +0/۳۷۰۴ \text{ m/s}$ و $Re = ۲۱$. مبادله کن با سه بافل میله‌ای: $Uz = +0/۳۷۰۴ \text{ m/s}$ و $Re = ۳۱$.

در شکل ۱۹ نواحی ساکن پشت بافل عمودی بهرنگ آبی با جریان‌های گردانی سرگردان مشخص شده است. همان‌طور که در شکل مشاهده می‌گردد این ناحیه از پشت بافل عمودی تا میانه فاصله دو بافل گسترش یافته است.

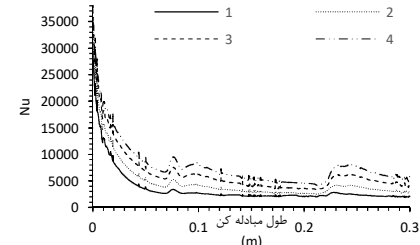


شکل ۱۹- بردار سرعت و کانتور فشار آب و نواحی ساکن پشت بافل میله‌ای در صفحه $x=16 \text{ mm}$

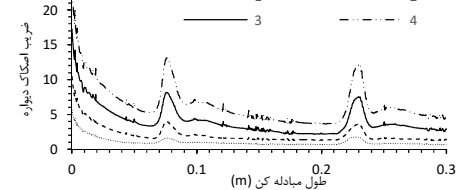
اگرچه اثر بافل‌ها بر میزان انتقال گرما در پوسته بتدریج با نزدیک شدن به سطح خارجی لوله‌ها کمتر می‌گردد اما از بین نمی‌رود. در شکل ۲۰ مقدار ناسلت برای دو مبادله کن گرمایی دو بافل و سه بافل میله‌ای برای خط شماره ۵ جریان آب که در لایه مجاور سطح خارجی لوله‌ها قرار دارد نشان داده شده است. در ورودی کanal مقادیر ناسلت برای هر دو مبادله کن تقریباً یکسان است ولی در مجاورت بافل اول و سوم مبادله کن سه بافل میله‌ای مقدار ناسلت از مبادله کن دو بافل میله‌ای

شده است. در ورودی کanal آب بهدلیل آشفتگی جریان و اختلاف دمای زیاد با دیواره خارجی لوله‌ها، مقدار ناسلت بسیار زیاد است ولی تا قبل از بافل عمودی بهشت کاهش می‌یابد. همچنین با افزایش سرعت آب شبکه کاهش مقدار ناسلت تا قبل از بافل عمودی کمتر می‌شود اما تغییرات آن در عبور از بافل‌ها افزایش پیدا می‌کند.

افزایش سرعت جریان آب افت فشار ناشی از اصطکاک را افزایش می‌دهد. بنابراین می‌توان انتظار داشت سرعت زیاد آب و وجود بافل روی افت فشار اثر هم‌افزایی داشته باشند. این نکته در شکل ۱۷ با افزایش ضریب اصطکاک دیواره در طول کanal بهعلت افزایش سرعت آب و تغییرات ناگهانی آن در مجاورت بافل به خوبی قابل مشاهده است. بتدریج با افزایش سرعت آب تغییرات ضریب اصطکاک در مجاورت بافل‌ها بیشتر شده است.



شکل ۱۶- تغییرات عدد ناسلت جریان نزدیک به سطح خارجی لوله‌ها با سرعت جریان آب در طول کanal. (۱) $Uz = +0/۲۷۰۴ \text{ m/s}$ و $Re = ۱۷/۴$ ، (۲) $Uz = +0/۲۷۰۴ \text{ m/s}$ و $Re = ۱۷/۴$ ، (۳) $Uz = +0/۵۶۳۷ \text{ m/s}$ و $Re = ۲۲/۳$ ، (۴) $Uz = +0/۷۴۰۹ \text{ m/s}$ و $Re = ۲۸/۸$



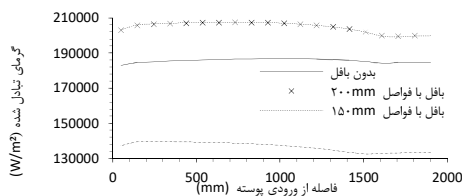
شکل ۱۷- تغییرات ضریب اصطکاک دیواره خارجی لوله‌ها با سرعت جریان آب در طول کanal. (۱) $Uz = +0/۲۲۲۳ \text{ m/s}$ و $Re = ۱۷/۴$ ، (۲) $Uz = +0/۵۶۳۷ \text{ m/s}$ و $Re = ۲۲/۳$ ، (۳) $Uz = +0/۳۷۰۴ \text{ m/s}$ و $Re = ۲۸/۸$ ، (۴) $Uz = +0/۷۴۰۹ \text{ m/s}$ و $Re = ۲۶/۶$

۴-۳- اثر افزایش فواصل بافل‌ها بر دما، انتقال گرما و افت فشار در پوسته

از نتایج مدل‌های CFD پیاده سازی شده برای مبادله کن‌های دو و سه بافل میله‌ای با سرعت $Uz = +0/۳۷۰۴ \text{ m/s}$ جریان آب ورودی بهمنظور بررسی اثر بافل بر راندمان گرمایی مبادله کن استفاده شده است. در شکل ۱۸ برای هر دو مبادله کن گرمایی با نزدیک شدن به بافل‌ها افزایش دمای محسوسی رخ می‌دهد که مقدار آن برای بافل‌های انتهایی بیش از بافل نزدیک بهورودی است. اما بهدلیل فاصله نزدیک بافل‌ها در مبادله کن گرمایی با سه بافل کاهش آهنگ افزایش دما بهتدریج از

اما افت فشار ناشی از آن به طور پیوسته افزایش می‌یابد. برای توضیح بیشتر در جدول ۴ کل گرما تبادل شده، افت فشار در پوسته و لوله برای مبادله کن‌های گرمایی شکل ۲۲ آمده است. طول مبادله کن ۲ متر، مساحت انتقال گرما $4/4\text{m}^2$ ، شدت جریان (سرد) آب در پوسته 6 Kg/s و عدد رینولدز 9000 است. قطر پوسته، طول لوله و مشخصات مکانیکی دیگر به غیر از تعداد بافل‌ها در مبادله کن گرمایی طراحی شده با HTRI که نتایج آن در شکل ۲۲ و جدول ۴ آمده، ثابت است.

مقادیر جدول ۴ نشان می‌دهد با افزودن تعداد بافل افت فشار در



شکل ۲۲- اثر فاصله بافل‌ها بر انتقال گرما

جدول ۴- تغییرات میزان کل گرما تبادلی و افت فشار با تعداد بافل میله‌ای در مبادله کن گرمایی بافل میله‌ای

افت فشار لوله (kPa)	افت فشار پوسته (kPa)	کل انتقال گرما تبادل شده (W)	فاصله بافل‌ها (mm)
۰,۴۲	۲,۱	۸۰۹۶۰۰	بدون بافل
۰,۵۵	۲,۸	۹۰۶۴۰۰	۲۰۰
۰,۵۵	۲,۹	۹۰۶۴۰۰	۱۵۰
۰,۵۵	۳,۱۴	۵۹۸۴۰۰	۱۰۰

پوسته بتدريج افزایش یافته ولى بر افت فشار لوله تاثيری نداشته است. همچنین میزان انتقال گرما تبادلی با کاهش فاصله بافل‌ها تا 100 mm کاهش نشان می‌دهد.

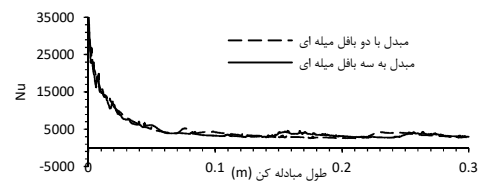
۴- نتیجه گیری

در اين تحقیق برای بررسی اثر بافل‌های میله‌ای و سرعت جریان در پوسته بر انتقال گرما در مبادله کن گرمایی پوسته و لوله از CFD و شبیه سازی با HTRI استفاده شد.

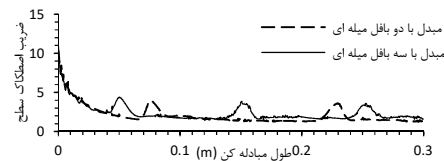
بر اساس نتایج و نمودارهای بالا، مدل انتخاب شده CFD در این تحقیق از سازگاری بسیار خوبی با نتایج تجربی برخوردار است و دقت طراحی یا شبیه سازی با نرم افزار HTRI هر چند که با نتایج تجربی فاصله دارد اما خطای نتایج در محدوده قابل قبولی برای تقریب‌های طراحی مهندسی قرار می‌گیرد و از آنجایی که این نوع مبادله کن تحت پنت شرکت فیلیپ است نتایج این تحقیق می‌تواند گامی بسیار موثر در توسعه کاربرد این نوع مبادله کن و شبیه سازی آن گردد.

تحلیل نتایج نشان داد اگرچه بافل باعث بالارفتن میزان انتقال گرما می‌گردد اما افزودن بر تعداد آن‌ها نه تنها سبب ازدیاد افت فشار می‌شود بلکه میزان تبادل گرما را می‌تواند کاهش دهد همان‌طور که افزایش سرعت جریان آب در پوسته کاهش انتقال گرما را به دنبال دارد.

كمتر شده است که در توافق با توضیحات شکل ۱۸ است و فقط در مجاورت بافل میانی مبادله کن سه بافل میله‌ای کمی افزایش مشاهده می‌گردد که می‌تواند به دلیل اثر بافل بر افزایش نسبی آشفتگی باشد. همانطورکه در شکل‌های ۱۴ و ۱۷ نشان داده شد بافل و افزایش سرعت سبب افت فشار اصطکاکی بیشتر در طول کانال می‌گردد. در شکل ۲۱ اثر افزایش تعداد بافل بر مقدار ضریب اصطکاک سطح خارجی لوله‌ها برای خط ۵ جریان آب نشان داده است. با افزودن بافل ضریب اصطکاک و در نتیجه افت فشار ناشی از اصطکاک در پوسته بتدريج از میانه کانال تا سطح مقطع خروجی نسبت به ضریب اصطکاک مبادله کن با دو بافل میله‌ای افزایش یافته است.



شکل ۲۰- تغییرات عدد ناسلت در مجاورت سطح خارجی لوله‌ها.
مبادله کن با دو بافل میله‌ای: $\text{Re} = 22$ و $Uz = 0/3704 \text{ m/s}$
مبادله کن با سه بافل میله‌ای: $\text{Re} = 37$ و $Uz = 0/3704 \text{ m/s}$



شکل ۲۱- تغییرات ضریب اصطکاک سطح خارجی لوله‌ها در طول کانال. مبادله کن با دو بافل میله‌ای: $\text{Re} = 22$ و $Uz = 0/3704 \text{ (m/s)}$
مبادله کن با سه بافل میله‌ای: $\text{Re} = 37$ و $Uz = 0/3704 \text{ (m/s)}$

جهت بررسی بیشتر، با HTRI سه مبادله کن گرمایی بافل میله‌ای با فواصل بافل $200\text{, }200\text{, }150\text{ mm}$ و 100 mm از یکدیگر و یک مبادله کن گرمایی بدون بافل میله‌ای با فرض شرایط مشابه (سرعت آب $0/223$ و ...) مبادله کن‌های گرمایی مدلسازی شده با CFD شبیه سازی شدند که در شکل ۲۲ میزان تبادل گرمایشان نشان داده شده است. در مبادله کن گرمایی بدون بافل شار گرمایی بهازاء سطح واحد در طول مبادله کن بین 190000 تا 180000 W/m^2 تغییر می‌کند. با افزودن بافل به نحوی که فاصله آن‌ها از یکدیگر 200 mm گردد شار گرمایی بهازاء سطح واحد در طول مبادله کن افزایش می‌یابد و به 208000 W/m^2 می‌رسد. با کاهش فواصل بافل‌ها از یکدیگر تا 150 mm شار گرمایی تغییر نمی‌کند. اما با کم نمودن فواصل بافل‌ها از یکدیگر به 100 mm شار گرمایی $20-30\%$ کاهش می‌یابد. این نتیجه در توافق با نتایج بدست آمده بالا از مدلسازی با CFD است که به عملت افزایش نواحی ساکن سیال پشت بافل‌ها و تشکیل گردابهای سرگردان سیال بوده که با دیواره گرم لوله‌ها تبادل گرمای نمی‌کنند.

اگرچه افزایش بهینه تعداد بافل سبب انتقال گرما بیشتر می‌شود

بنابراین می‌بایست متغیرهای بالا مقدار بهینه ای داشته باشد و معیارهای دیگری علاوه بر شار گرمایی بیشینه بهاء سطح واحد درنظر گرفته شود تا شار گرمایی تبادلی حداکثر به دست آید.
لذا پیشنهاد می‌شود تحقیقات دیگری برای بررسی علل خطای محاسبات HTRE در مقایسه با نتایج تجربی و یافتن فواید بافای-ها از یکدیگر برای طول مشخصی از مبادله کن گرمایی با لحاظ معیارهای دیگر طراحی انجام شود.

۵ مراجع

- [14] Shrikant A. A., Sivakumar R., Vivekanandan M., Comparison of Shell and Tube Heat Exchanger Using Theoretical Methods, HTRE, ASPEN and SOLIDWORKS Simulation Soft Wares, *International Journal of Engineering Research and Application*, Vol. 6, Issue 3, Part-5, pp. 99-107, 2016.
- [15] Qiu Y., Li M. J., Wang W. Q., Du B. C., Wang K., An Experimental Study on the Heat Transfer Performance of a Prototype Molten-Salt Rod Baffle Heat Exchanger for Concentrated Solar Power, *energy*, Vol. 156, pp. 63-72, 2018.
- [16] Yu C., Ren Zh., Zeng M., Numerical Investigation of Shell-Side Performance for Shell and Tube Heat Exchangers with Two Different Clamping Type Anti-Vibration Baffles, *Applied Thermal Engineering*, Accepted Manuscript, 2018.
- [17] Chmielewski, M., Giersa, M., Three-zonal Wall Function for k-epsilon Turbulence Models, *Computational Methods in Science and Technology*, Vol. 19, No. 2, pp. 107-114, 2013.
- [18] ANSYS Inc., Modeling Turbulent Flows, www.fluentusers.com, Introductory Fluent Training, 2006.
- [1] Dong, Q. W., Wang Y. Q., Liu M. S., Numerical and Experimental Investigation of Shell Side Characteristics for ROD Baffle Heat Exchanger, *Applied Thermal Engineering*, Vol. 28, No. 7, pp. 651-660, 2008.
- [2] Yongqing W., Xin G., Ke W., Qiwu D., Numerical Investigation of Shell-Side Characteristics of H-Shape Baffle Heat Exchanger, *Procedia Engineering*, Vol. 18, pp. 53-58, 2011.
- [3] Galeazzo F. C. C., Miura R. Y., Gut J. A. W., Tadini C. C., Experimental and Numerical Heat Transfer in a Plate Heat Exchanger, *Chemical Engineering Science*, Vol. 61, No.21, pp. 7133-7138, 2006.
- [4] Maakoul A. E., Lakanizi A., Saadeddine S., Metoui M. E., Meziane M., Abdellah A. B., Numerical Comparison of Shell-Side Performance for Shell and Tube Heat Exchangers with Trefoil-Hole, Helical and Segmental Baffles, *Applied Thermal Engineering*, Vol. 109, pp. 175-185, 2016.
- [5] Shahril S. M., Quadir G. A., Amin N. A. M., Badruddin I. A., Thermo Hydraulic Performance Analysis of a Shell-and-Double Concentric Tube Heat Exchanger Using CFD, *International Journal of Heat and Mass Transfer*, Vol. 105, pp. 781-798, 2017.
- [6] Darvish Damavandi M., Forouzanmehr M., Safikhani H., Modeling and Pareto Based Multi-Objective Optimization of Wavy Fin-and-Elliptical Tube Heat Exchangers Using CFD and NSGA-II Algorithm, *Applied Thermal Engineering*, Vol. 111, pp. 325-339, 2017.
- [7] Yaici W., Ghorab M., Entchev E., 3D CFD Study of the Effect of Inlet Air Flow Maldistribution on Plate-Fin-Tube Heat Exchanger Design and Thermal-Hydraulic Performance, *International Journal of Heat and Mass Transfer*, Vol. 101, pp. 527-541, 2016.
- [8] Ambekar A. S., Sivakumar R., Anantharaman N., Vivekanandan M., CFD Simulation Study of Shell and Tube Heat Exchangers with Different Baffle Segment Configurations, *Applied Thermal Engineering*, Vol. 108, pp. 999-1007, 2016.
- [9] Wang X., Zheng N., Liu P., Liu Zh., Liu W., Numerical Investigation of Shell Side Performance of a Double Shell Side Rod Baffle Heat Exchanger, *International Journal of Heat and Mass Transfer*, Vol. 108, Part B, pp. 2029-2039, 2017.
- [10] Patel S. K., Mavani A. M., Shell & Tube Heat Exchanger Thermal Design with Optimization of Mass Flow Rate and Baffle Spacing, *International Journal of Advanced Engineering Research and Studies*, Vol. 2, Issue I, pp. 130-135, 2012.
- [11] Sahajpal S., Shah P. D., Thermal Design of Ammonia Desuperheater-Condenser and Comparative Study with HTRE, *Procedia Engineering*, Vol. 51, pp. 375-379, 2013.
- [12] Ayub Z. H., A New Chart Method for Evaluating Single-Phase Shell Side Heat Transfer Coefficient in a Single Segmental Shell and Tube Heat Exchanger, *Applied Thermal Engineering*, Vol. 25, Issues 14-15, pp. 2412-2420, 2005.
- [13] Leoni G. B., Klein T. S., Medronho R. D. A., Assessment with Computational Fluid Dynamics of the Effects of Baffle Clearances on the Shell Side Flow in a Shell and Tube Heat Exchanger, *Applied Thermal Engineering*, Vol. 112, pp. 497-506, 2017.